



ГОСУДАРСТВЕННЫЙ СТАНДАРТ  
СОЮЗА ССР

# ДИОДЫ ПОЛУПРОВОДНИКОВЫЕ СВЧ

МЕТОДЫ ИЗМЕРЕНИЯ ТЕПЛОВОГО СОПРОТИВЛЕНИЯ  
ПЕРЕХОД—КОРПУС И ИМПУЛЬСНОГО ТЕПЛОВОГО  
СОПРОТИВЛЕНИЯ

ГОСТ 19656.15—84

Издание официальное

Цена 10 коп.

ГОСУДАРСТВЕННЫЙ КОМИТЕТ СССР ПО СТАНДАРТАМ  
Москва

**ДИОДЫ ПОЛУПРОВОДНИКОВЫЕ СВЧ**

**Методы измерения теплового сопротивления  
переход—корпус и импульсного теплового  
сопротивления**

Semiconductor UHF diodes Measurement methods  
of thermal resistance and pulse thermal resistance

ОКП 62 1800

**ГОСТ  
19656.15—84**

**Постановлением Государственного комитета СССР по стандартам от 24 августа  
1984 г. № 2996 срок действия установлен**

**с 01.01.86****до 01.01.91**

**Несоблюдение стандарта преследуется по закону**

Настоящий стандарт распространяется на полупроводниковые диоды СВЧ и устанавливает следующие методы измерения тепловых сопротивлений.

Метод измерения теплового сопротивления переход — корпус\*  $R_{\Theta}$ пер-кор и импульсного теплового сопротивления  $R_{\Theta}$ и с использованием зависимости прямого напряжения диода от температуры и разогревом импульсами СВЧ-мощности, применяемый для всех СВЧ-диодов, кроме диодов Ганна и лавинно-пролетных диодов (метод I).

Метод измерения  $R_{\Theta}$ пер-кор и  $R_{\Theta}$ и с использованием зависимости прямого напряжения диода от температуры и разогревом импульсами прямого тока, применяемый для всех СВЧ-диодов, кроме диодов Ганна и лавинно-пролетных диодов, при автоматизированных измерениях в условиях производства (метод II).

Метод измерения  $R_{\Theta}$ пер-кор с использованием зависимости порогового тока диодов Ганна от температуры. (метод III).

Метод измерения  $R_{\Theta}$ пер-кор с использованием зависимости обратного напряжения лавинно-пролетного диода от температуры (метод IV).

Общие требования и требования безопасности — по ГОСТ 19656.0—74.

\* Переход — теплоотводящая поверхность для бескорпусных диодов.

**1. МЕТОД ИЗМЕРЕНИЯ  $R_{\Theta \text{ пер-кор}}$  И  $R_{\Theta \text{ и}}$  С ИСПОЛЬЗОВАНИЕМ  
ЗАВИСИМОСТИ ПРЯМОГО НАПРЯЖЕНИЯ ДИОДА ОТ ТЕМПЕРАТУРЫ  
И РАЗОГРЕВОМ ИМПУЛЬСАМИ СВЧ-МОЩНОСТИ [МЕТОД I]**

1.1. Принцип, условия и режим измерений

1.1.1. Измерение тепловых сопротивлений заключается в определении приращения температуры перехода в результате рассеивания в диоде определенной мощности СВЧ-импульса.

1.1.2. Для типа диодов или конкретного диода должен быть определен температурный коэффициент прямого напряжения (ТКН) методом, приведенным в обязательном приложении 1.

1.1.3. Изменение прямого напряжения диода под действием СВЧ-импульса показано на черт. 1. Период следования импульсов  $T$  выбирают из условия

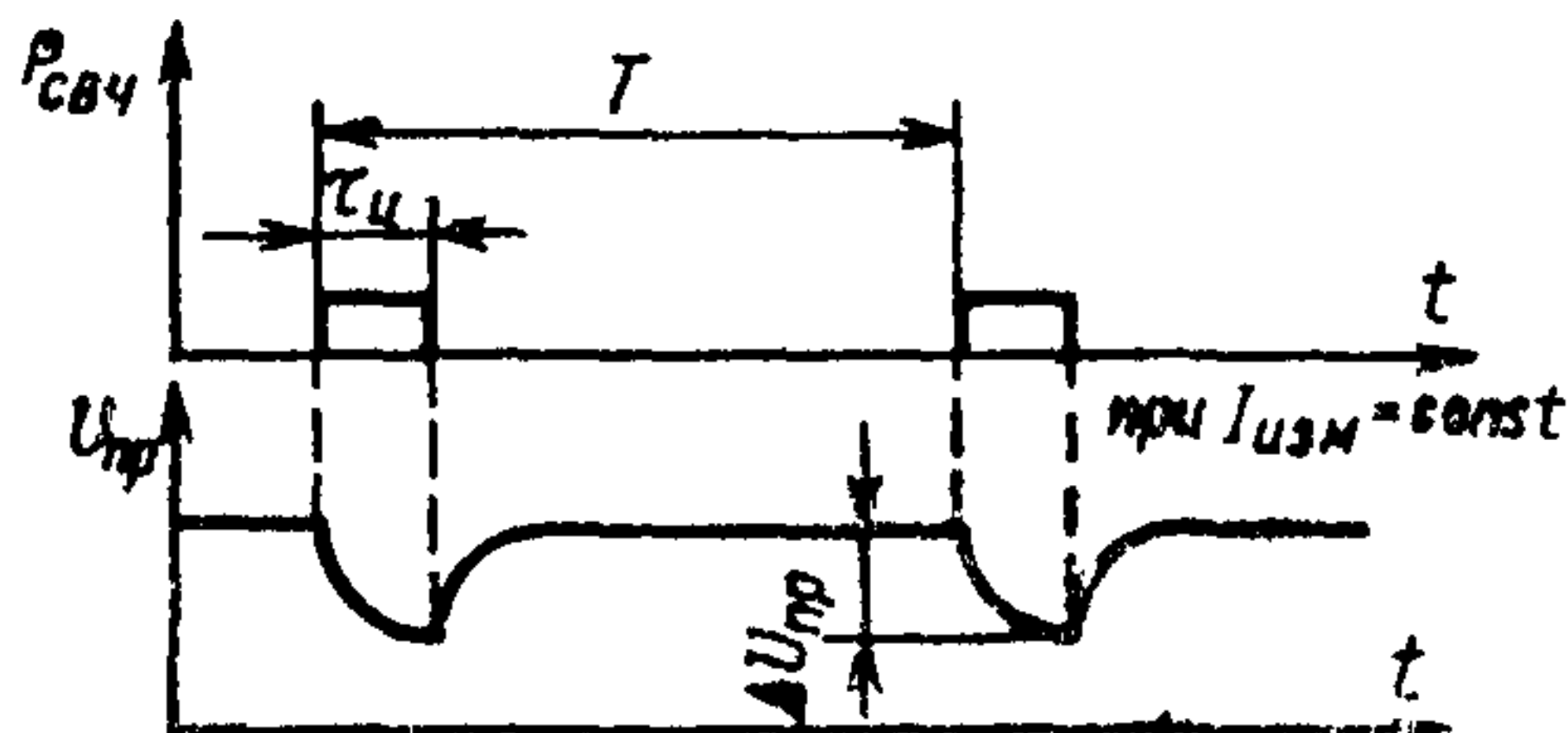
$$T - \tau_{\text{и}} \geq 3\tau_{\text{т}},$$

где  $\tau_{\text{т}}$  — время тепловой релаксации диода.

При измерении  $R_{\Theta \text{ пер-кор}}$  длительность импульсов  $\tau_{\text{и}}$  выбирают из условия

$$\tau_{\text{и}} = (3-5)\tau_{\text{т}}.$$

Измерение  $R_{\Theta \text{ и}}$  проводят при нормированной длительности импульса.



Черт. 1

1.1.4. Значение импульсной рассеиваемой мощности, длительности импульсов и периода их следования должны соответствовать установленным в стандартах или технических условиях (ТУ) на диоды конкретных типов.

**1.2. Аппаратура**

1.2.1. Измерения следует проводить на установке, структурная схема которой приведена на черт. 2.

1.2.2. Генератор СВЧ-мощности должен обеспечивать подачу на диод импульса СВЧ-мощности с заданной длительностью и периодом следования; погрешность установки длительности импульсов и периода следования не должна выходить за пределы  $\pm 5\%$ ; длительность фронтов  $< 0,05 \tau_{\text{т}}$ .

Погрешность регулировки и измерения импульсной мощности не должна выходить за пределы  $\pm 10\%$ .

1.2.3. Измеритель КСВН должен обеспечивать измерение КСВН в импульсном режиме от 1,1 до 2,0, погрешность — в пределах  $\pm 15\%$ .

1.2.4. Диодная измерительная камера должна обеспечивать:

согласование проверяемых диодов до  $K_{\text{СВН}} \leq 1,4$  при заданном прямом токе;

тепловое сопротивление между корпусом диода и диодной камерой для диодов в корпусе или между теплоотводящей поверхностью диода и диодной камерой для бескорпусных диодов не более 5 % измеряемого теплового сопротивления;

коэффициент потерь СВЧ-мощности в элементах конструкции камеры ( $K_p$ ), определенный для конкретного диода или диодов данного типа методом, приведенным в справочном приложении 2, не более 0,2.

1.2.5. Источник постоянного тока должен обеспечивать:  
внутреннее сопротивление не менее 10 кОм;  
амплитуду напряжения пульсаций не более 0,02 %.

Суммарная нестабильность задаваемого тока при работе на реальную нагрузку не должна выходить за пределы  $\pm 2\%$ .

1.2.6. Погрешность измерения изменения прямого напряжения на диоде  $\Delta U_{\text{пр}}$  измерителем  $PV$  не должна выходить за пределы  $\pm 10\%$ .

1.3. Подготовка и проведение измерений

1.3.1. Устанавливают проверяемый диод в диодную камеру.

1.3.2. Задают через диод прямой ток.

1.3.3. Подают на диод импульсы СВЧ-мощности и проводят согласование диода.

1.3.4. Измеряют значение  $\Delta U_{\text{пр}}$ .

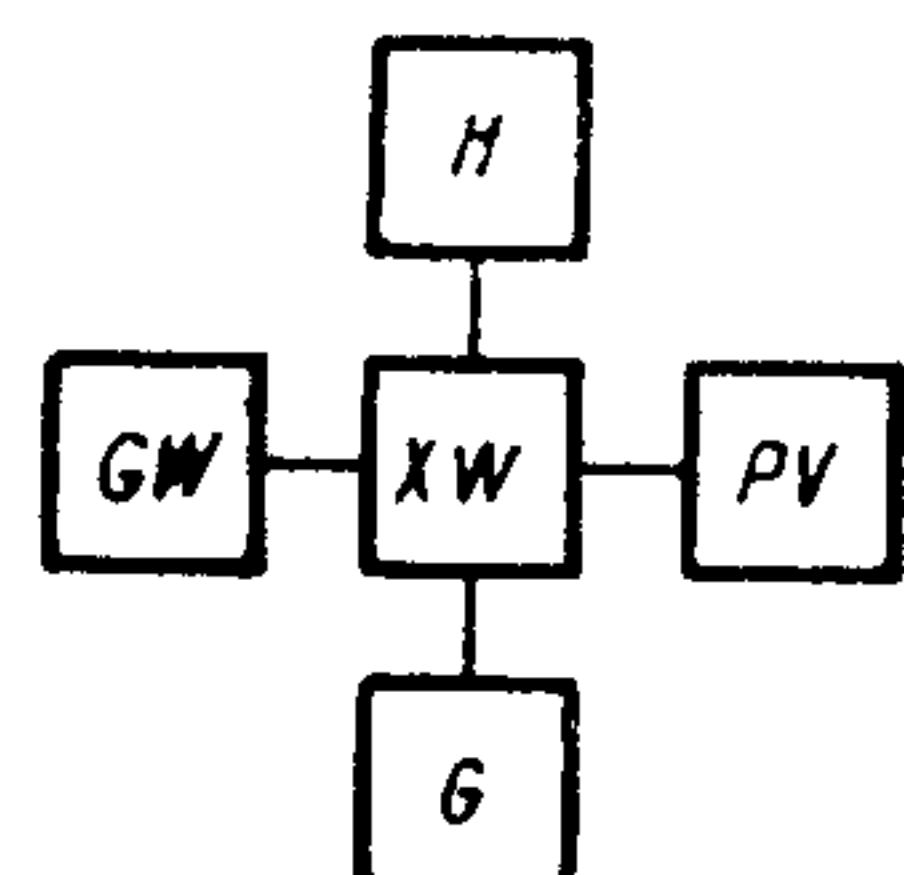
1.4. Обработка результатов измерений

1.4.1. Тепловое сопротивление  $R_\theta$ ,  $^{\circ}\text{C}/\text{Вт}$ , определяют по формуле

$$R_\theta = \frac{\Delta U_{\text{пр}}}{T_{\text{КН}} \cdot P_r (1 - K_p)}, \quad (1)$$

где  $U_{\text{пр}}$  — изменение прямого напряжения диода, мВ;

$T_{\text{КН}}$  — температурный коэффициент прямого напряжения диода, определенный методом, приведенным в обязательном приложении 1, мВ/ $^{\circ}\text{C}$ ;



$GW$  — генератор СВЧ-мощности;  
 $H$  — измеритель коэффициента стоячей волны по напряжению (КСВН);  $XW$  — диодная измерительная камера с диодом;  $G$  — источник постоянного тока;  $PV$  — измеритель изменения прямого напряжения  $\Delta U_{\text{пр}}$

Черт. 2

$P_g$  — импульсная мощность генератора СВЧ-мощности, Вт;  
 $K_P$  — коэффициент потерь в диодной камере, определенный методом, приведенным в справочном приложении 2.

### 1.5. Показатели точности измерений

1.5.1. Погрешность измерения тепловых сопротивлений не должна выходить за пределы  $\pm 25\%$  с доверительной вероятностью 0,997.

1.5.2. Расчет погрешности измерения теплового сопротивления приведен в справочном приложении 3.

## 2. МЕТОД ИЗМЕРЕНИЯ $R_{\Theta \text{ пер-кор}}$ И $R_{\Theta \text{ и}}$ С ИСПОЛЬЗОВАНИЕМ ЗАВИСИМОСТИ ПРЯМОГО НАПРЯЖЕНИЯ ДИОДА ОТ ТЕМПЕРАТУРЫ И РАЗОГРЕВОМ ИМПУЛЬСАМИ ПРЯМОГО ТОКА (МЕТОД II)

### 2.1. Принцип, условия и режим измерений

2.1.1. Измерение тепловых сопротивлений заключается в определении приращения температуры перехода в результате рассеивания в диоде определенной мощности импульса прямого тока.

2.1.2. Для типа диодов или конкретного диода должен быть определен температурный коэффициент прямого напряжения (ТКН) методом, приведенным в обязательном приложении 1.

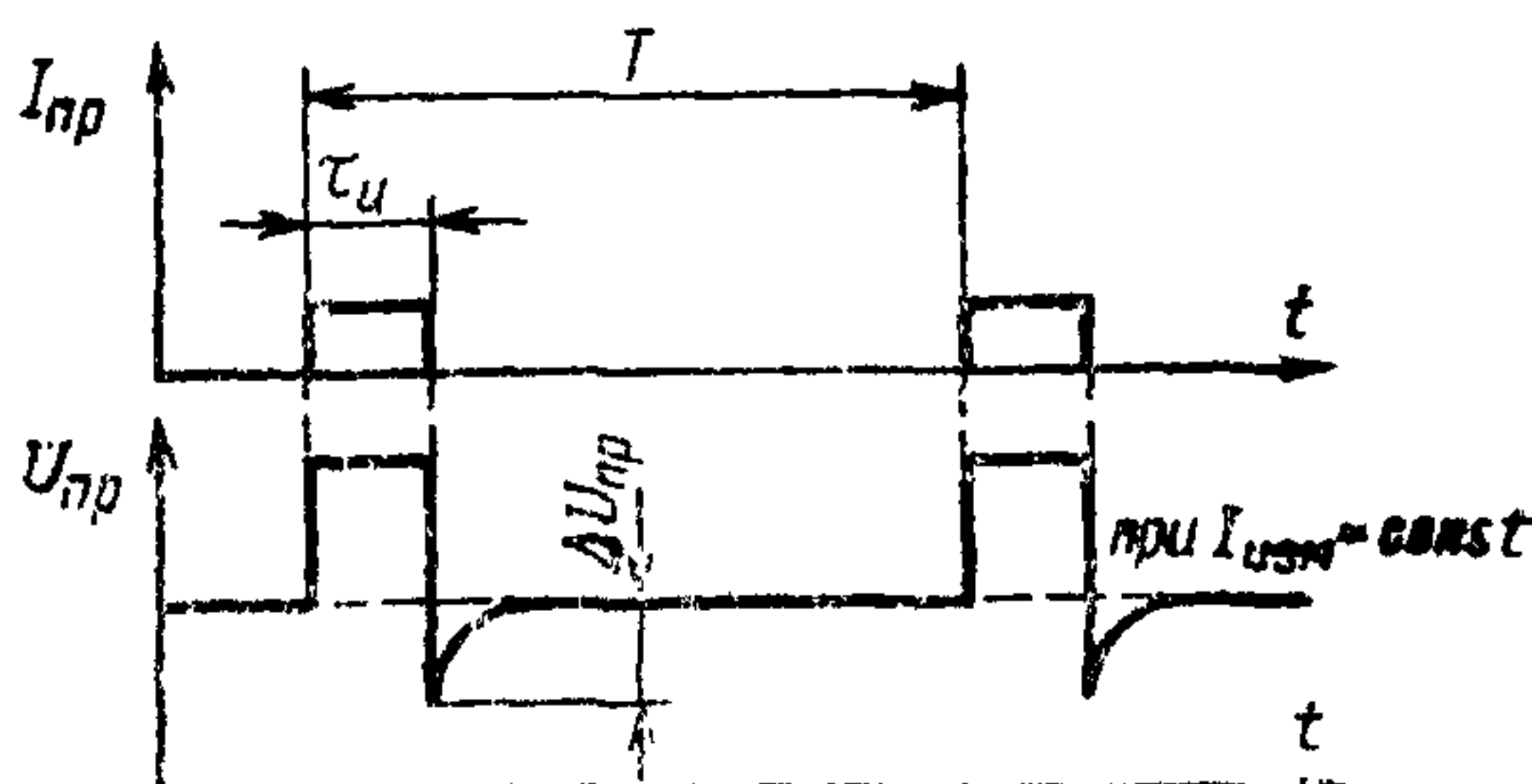
2.1.3. Изменение прямого напряжения диода под действием импульса прямого тока показано на черт. 3. Период следования импульсов  $T$  выбирают из условия:

$$T - \tau_i \geq 3\tau_r.$$

При измерении  $R_{\Theta \text{ пер-кор}}$  длительность импульсов  $\tau_i$  выбирают из условия:

$$\tau_i = (3-5)\tau_r.$$

Измерение  $R_{\Theta \text{ и}}$  проводят при нормированной длительности импульса.

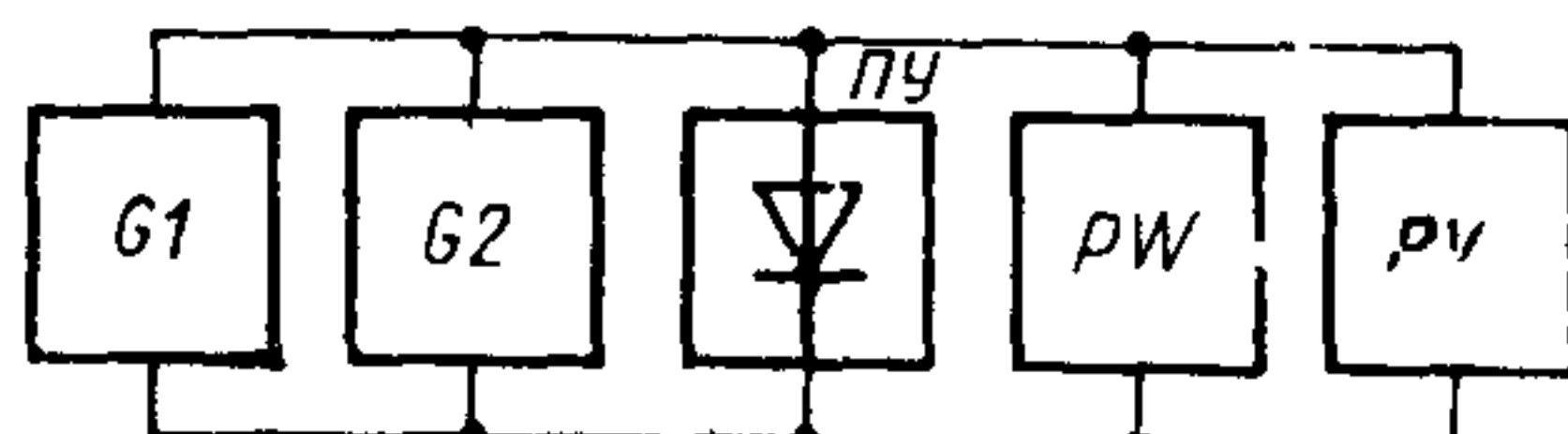


Черт. 3

2.1.4. Значения амплитуды импульса прямого тока, длительности импульсов и периода их следования, при которых проводят измерения, должны соответствовать установленным в стандартах или ТУ на диоды конкретных типов.

## 2.2. Аппаратура

2.2.1. Измерения следует проводить на установке, структурная схема которой приведена на черт. 4.



*G1*—импульсный генератор тока;  
*G2*—источник постоянного тока;  
*ПУ*—подключающее устройство с  
диодом; *PW*—измеритель мощности;  
*PV*—измеритель изменения прямого  
напряжения  $\Delta U_{\text{пр}}$

Черт. 4

2.2.2. Импульсный генератор должен обеспечивать:

подачу на диод импульсов прямого тока с заданной длительностью и периодом следования; погрешность установки длительности импульсов и периода следования не должна выходить за пределы  $\pm 5 \%$ ; длительность фронтов  $\leq 0,05 \tau_t$ ;

внутреннее сопротивление не менее 500 Ом.

Погрешность установки амплитуды импульсов прямого тока не должна выходить за пределы  $\pm 3 \%$ .

2.2.3. Источник постоянного тока — в соответствии с требованиями п. 1.2.5.

2.2.4. Погрешность измерения импульсной мощности, рассеиваемой в диоде, измерителем мощности *PW* не должна выходить за пределы  $\pm 7 \%$ .

2.2.5. Измеритель изменения прямого напряжения  $\Delta U_{\text{пр}}$  — в соответствии с требованиями п. 1.2.6.

2.2.6. Подключающее устройство должно обеспечивать:

переходное сопротивление контактов не более 0,01 Ом;

тепловое сопротивление между корпусом диода и *ПУ* для диодов в корпусе или между теплоотводящей поверхностью диода и *ПУ* для бескорпусных диодов должно быть не более 5 % значения измеряемого теплового сопротивления.

2.3. Подготовка и проведение измерений

2.3.1. Устанавливают диод в подключающее устройство.

2.3.2. Задают через диод прямой ток.

2.3.3. Подают на диод импульсы прямого тока и измеряют рассеиваемую в диоде мощность.

2.3.4. Измеряют значение  $\Delta U_{\text{пр}}$ .

2.4. Обработка результатов измерений

2.4.1. Термическое сопротивление  $R_\theta$ ,  $^{\circ}\text{C}/\text{Вт}$ , определяют по формуле

$$R_\theta = \frac{\Delta U_{\text{пр}}}{\text{TKH} \cdot P}, \quad (2)$$

где  $\Delta U_{\text{пр}}$  — изменение прямого напряжения диода, мВ;

ТКН — температурный коэффициент прямого напряжения диода, определенный методом, приведенным в обязательном приложении 1, мВ/ $^{\circ}\text{C}$ ;

$P$  — импульсная мощность, рассеиваемая в диоде, Вт.

2.5. Показатели точности измерений

2.5.1. Погрешность измерения тепловых сопротивлений не должна выходить за пределы  $\pm 25\%$  с доверительной вероятностью 0,997.

2.5.2. Расчет погрешности измерения теплового сопротивления приведен в справочном приложении 3.

### 3. МЕТОД ИЗМЕРЕНИЯ $R_\theta$ пер-кор С ИСПОЛЬЗОВАНИЕМ ЗАВИСИМОСТИ ПОРОГОВОГО ТОКА ДИОДОВ ГАННА ОТ ТЕМПЕРАТУРЫ (МЕТОД III)

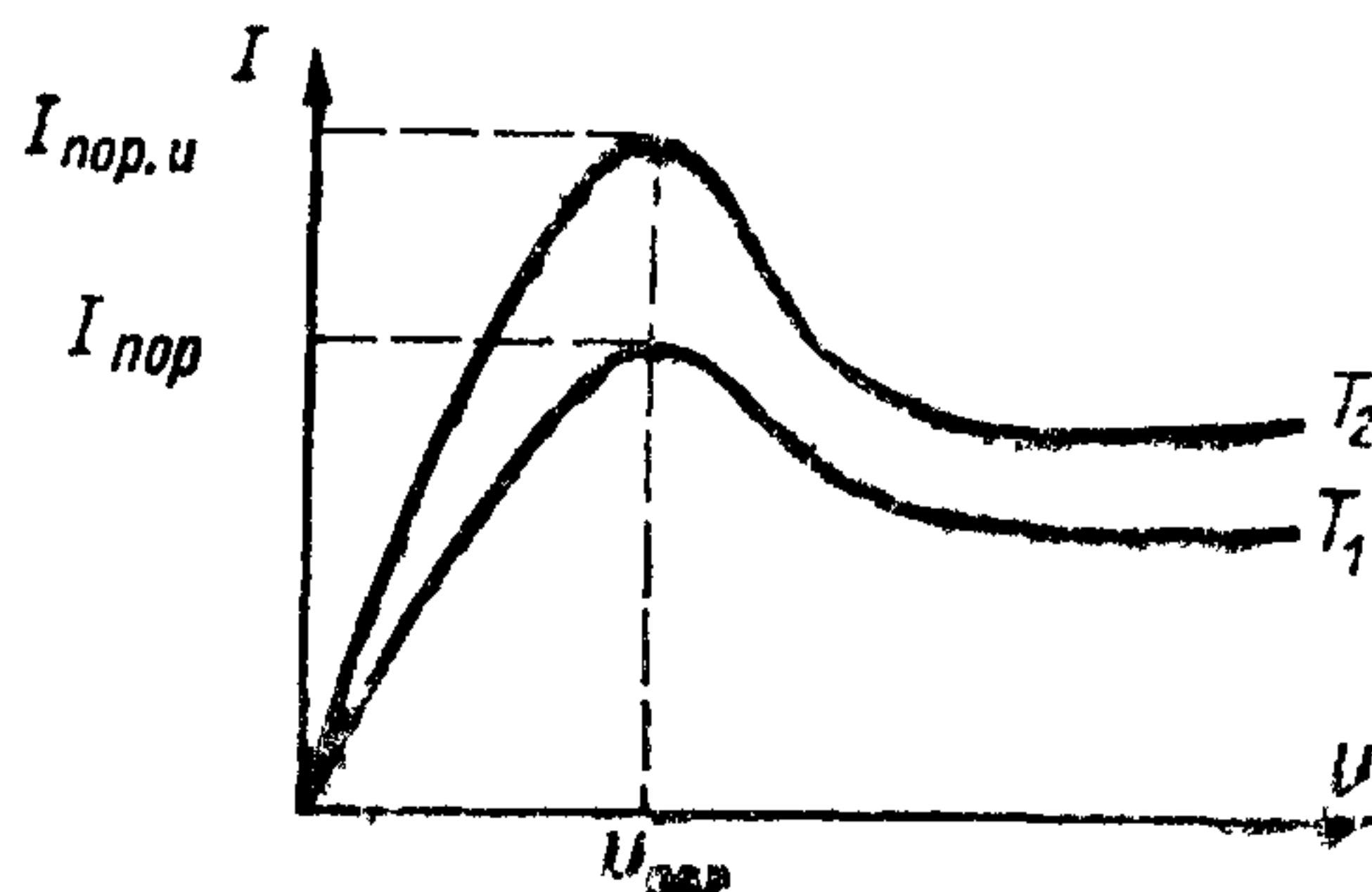
3.1. Принцип, условия и режим измерений

3.1.1. Измерение теплового сопротивления заключается в определении разности температур между активной областью диода и корпусом при рассеивании определенной мощности постоянного тока.

3.1.2. Разность температур между активной областью диода и корпусом определяют исходя из измерений температуры корпуса при равенстве пороговых токов для двух электрических режимов: рассеивании в диоде мощности постоянного тока и неразогревающем импульсном режиме и подогреве корпуса внешним нагревателем.

3.1.3. На черт. 5 представлены вольт-амперные характеристики диода Ганна при двух температурах активной области, причем  $T_1 > T_2$ . При нагреве корпуса внешним нагревателем значение импульсного порогового тока уменьшается и при равенстве его значения значению постоянного импульсного тока температура корпуса соответствует температуре активной области при рассеивании мощности постоянного тока.

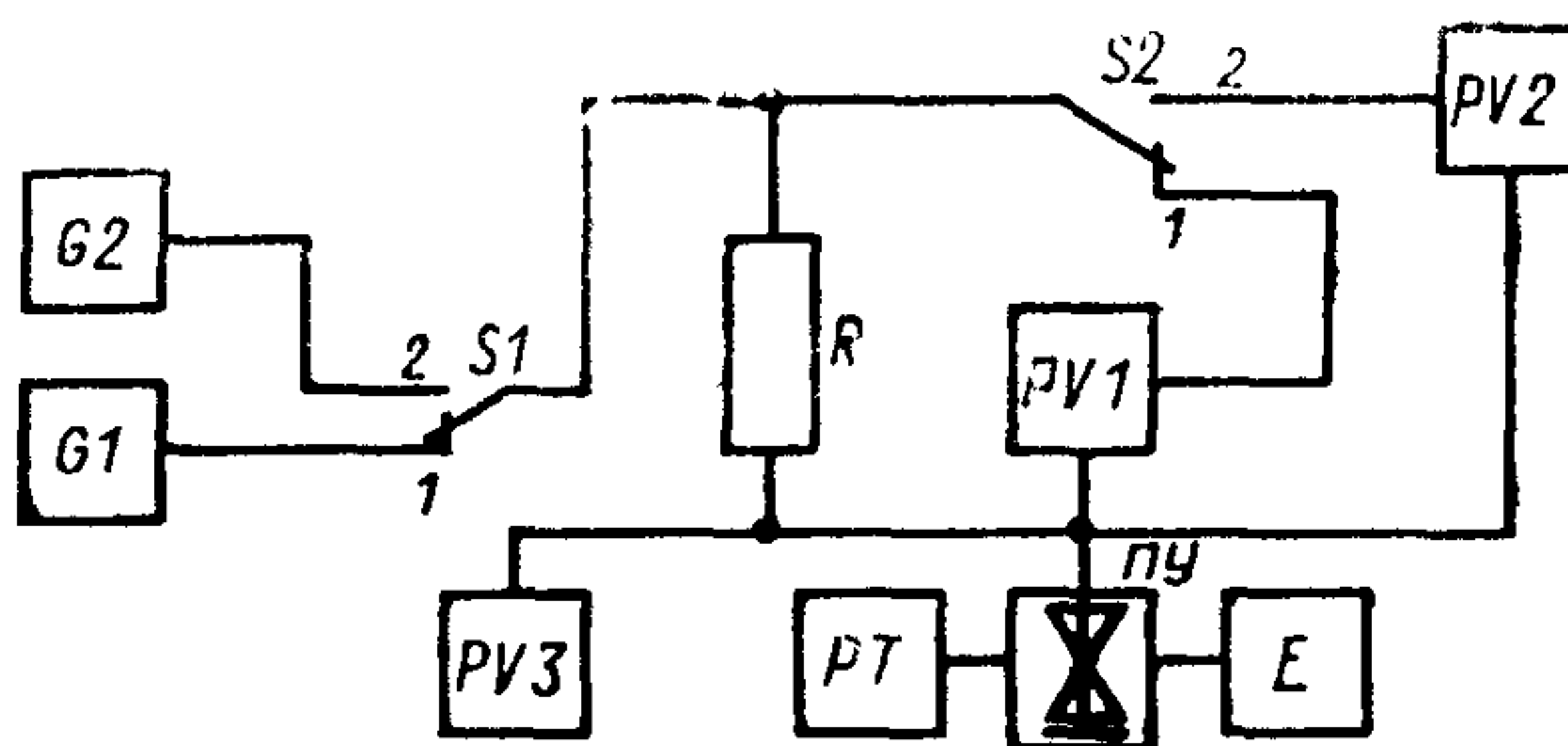
3.1.4. Значения длительности и периода следования импульсов, при которых проводят измерение, должны соответствовать установленным в стандартах или ТУ на диоды конкретных типов.



Черт. 5

### 3.2. Аппаратура

3.2.1. Измерения следует проводить на установке, структурная схема которой приведена на черт. 6.



$G1$ —источник постоянного напряжения;  $G2$ —генератор импульсов напряжения;  $S1$ ,  $S2$ —переключатели;  $R$ —измерительный резистор;  $PV1$ ,  $PV3$ —измерители постоянного напряжения;  $PV2$ —измеритель импульсного напряжения;  $E$ —нагреватель;  $\text{ПУ}$ —подключающее устройство с диодом;  $PT$ —измеритель температуры

Черт. 6

3.2.2. Источник постоянного напряжения должен обеспечивать: установку и поддержание порогового напряжения диода, погрешность — в пределах  $\pm 2 \%$ ;

внутреннее сопротивление — не более  $0,1 (R+r)$  Ом, где  $R$  — сопротивление измерительного резистора, Ом;

$r$  — сопротивление диода, Ом.

3.2.3. Генератор импульсов напряжения должен обеспечивать: установку и поддержание амплитуды импульсов, погрешность — в пределах  $\pm 2 \%$ , длительность импульсов  $< 0,05 \tau_t$ ;

внутреннее сопротивление — не более  $0,1 (R+r)$ , Ом, где  $R$  — сопротивление измерительного резистора, Ом;

$r$  — сопротивление диода, Ом.

3.2.4. Измерители постоянного напряжения должны отвечать следующим требованиям:

погрешность измерения постоянного напряжения не должна выходить за пределы  $\pm 2\%$ ,

ток, проходящий через измерители, должен быть не более 1 % значения порогового тока проверяемого диода.

3.2.5. Измеритель импульсного напряжения должен отвечать следующим требованиям:

погрешность измерения импульсного напряжения не должна выходить за пределы  $\pm 10\%$ ;

ток, проходящий через измеритель, должен быть не более 1 % значения порогового тока проверяемого диода.

3.2.6. Нагреватель должен обеспечивать нагрев корпуса диода до температуры  $200^{\circ}\text{C}$ .

3.2.7. Подключающее устройство должно обеспечивать:

переходное сопротивление контактов не более 0,01 Ом в диапазоне рабочих температур;

тепловое сопротивление между корпусом диода и ПУ для диодов в корпусе или между теплоотводящей поверхностью диода и ПУ для бескорпусных диодов должно быть не более 5 % значения измеряемого теплового сопротивления.

3.2.8. Погрешность измерения температуры корпуса измерителем температуры не должна выходить за пределы  $\pm 1,5^{\circ}\text{C}$ .

3.3. Подготовка и проведение измерений

3.3.1. Устанавливают диод в подключающее устройство. Переключатели  $S_1$ ,  $S_2$  устанавливают в положение 1.

3.3.2. С помощью источника постоянного напряжения задают постоянный пороговый ток через диод по максимуму показаний измерителя  $PV1$ . Значение порогового тока  $I_{\text{пор}}$ , А, определяют по формуле

$$I_{\text{пор}} = \frac{U}{R}, \quad (3)$$

где  $U$  — показания измерителя  $PV1$ , В;

$R$  — сопротивление измерительного резистора, Ом.

3.3.3. Измеряют значение порогового напряжения  $U_{\text{пор}}$  и температуру корпуса диода  $T_1$ .

3.3.4. Устанавливают переключатели  $S_1$ ,  $S_2$  в положение 2 и задают значение порогового тока в импульсном режиме  $I_{\text{пор.и}}$  с помощью генератора импульсов по максимуму показаний измерителя  $PV2$ .

3.3.5. Включают нагреватель и измеряют температуру корпуса диода  $T_2$  в момент равенства значения импульсного порогового тока значению постоянного порогового тока.

### 3.4. Обработка результатов измерений

3.4.1. Тепловое сопротивление  $R_{\Theta \text{пер-кор}}$ ,  $^{\circ}\text{C/Bt}$ , определяют по формуле

$$R_{\Theta \text{пер-кор}} = \frac{T_2 - T_1}{I_{\text{пор}} \cdot U_{\text{пор}}} , \quad (4)$$

где  $T_1$  — температура корпуса диода в режиме постоянного порогового тока,  $^{\circ}\text{C}$ ;

$T_2$  — температура корпуса диода при внешнем нагреве и импульсном электрическом режиме,  $^{\circ}\text{C}$ ;

$I_{\text{пор}}$  — постоянный пороговый ток, А;

$U_{\text{пор}}$  — постоянное пороговое напряжение, В.

### 3.5. Показатели точности измерений

3.5.1. Погрешность измерения теплового сопротивления не должна выходить за пределы  $\pm 25\%$  с доверительной вероятностью 0,997.

3.5.2. Расчет погрешности  $R_{\Theta \text{пер-кор}}$  приведен в справочном приложении 3.

## 4. МЕТОД ИЗМЕРЕНИЯ $R_{\Theta \text{пер-кор}}$ С ИСПОЛЬЗОВАНИЕМ ЗАВИСИМОСТИ ОБРАТНОГО НАПРЯЖЕНИЯ ЛАВИННО-ПРОЛЕТНЫХ ДИОДОВ ОТ ТЕМПЕРАТУРЫ (МЕТОД IV)

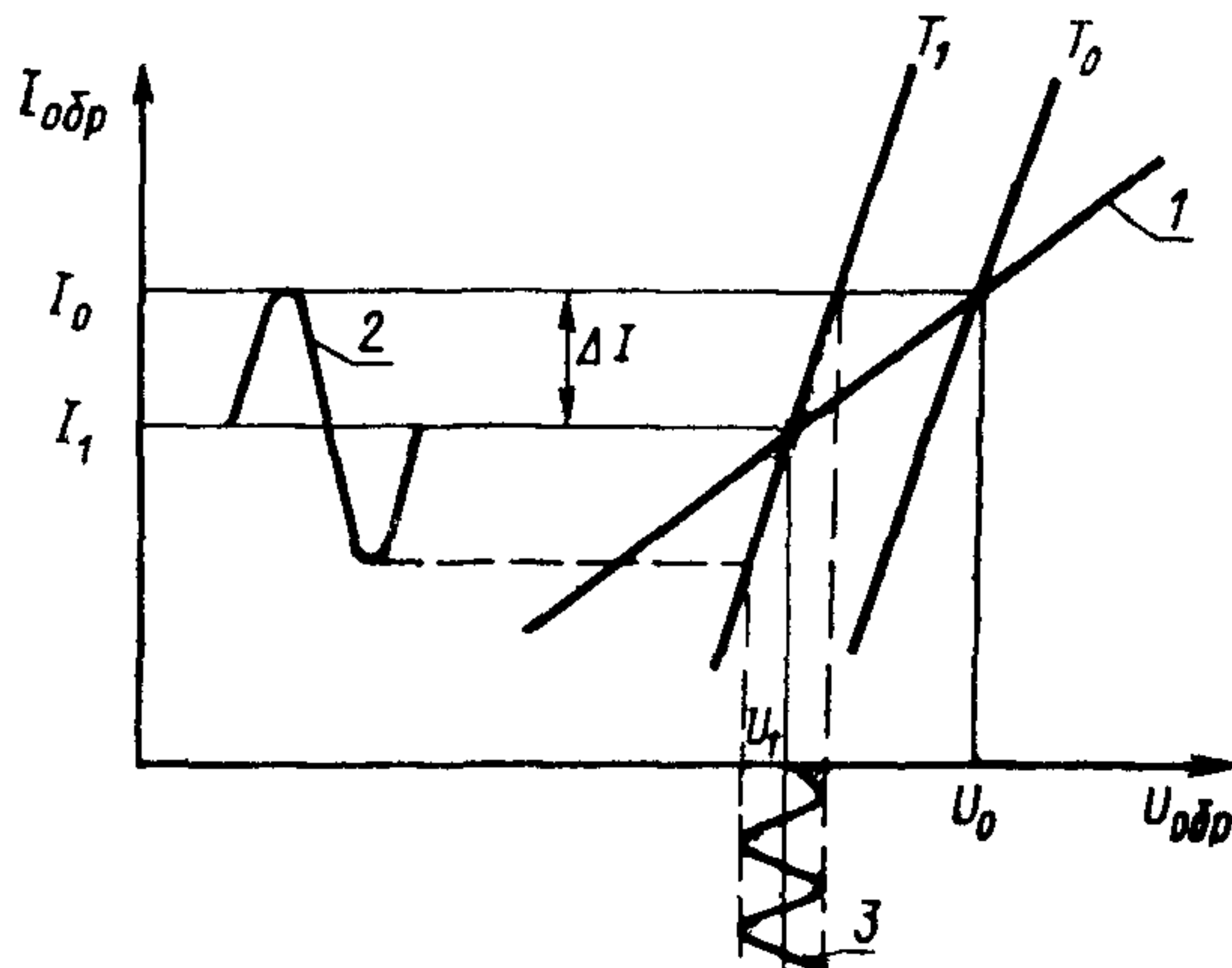
### 4.1. Принцип, условия и режим измерений

4.1.1. Измерение теплового сопротивления заключается в определении разности температур между переходом и корпусом диода при рассеивании в диоде определенной мощности постоянного тока.

4.1.2. Разность температур между переходом и корпусом определяют исходя из измерений температуры корпуса диода при равенстве обратных напряжений для двух электрических режимов: при рассеивании в диоде мощности постоянного тока  $I_0 U_0$ , при рассеивании меньшей мощности  $(I_0 - \Delta I) U_0$ , подогреве корпуса диода внешним нагревателем и подаче на диод неразогревающего перехода высокочастотного тока с амплитудой  $\Delta I$ .

4.1.3. На черт. 7 представлены статическая вольт-амперная характеристика (1) и изотермические вольт-амперные характеристики, соответствующие постоянным температурам перехода  $T_0$  и  $T_1$ , причем  $T_0 > T_1$ . При подаче высокочастотного тока (2) амплитуда обратного напряжения (3) изменяется в соответствии с изотермической характеристикой  $T_1$ . Нагрев корпуса внешним нагревателем увеличивает обратное напряжение и при равенстве его амплитудного значения значению  $V_0$  температура перехода будет равна  $T_0$ .

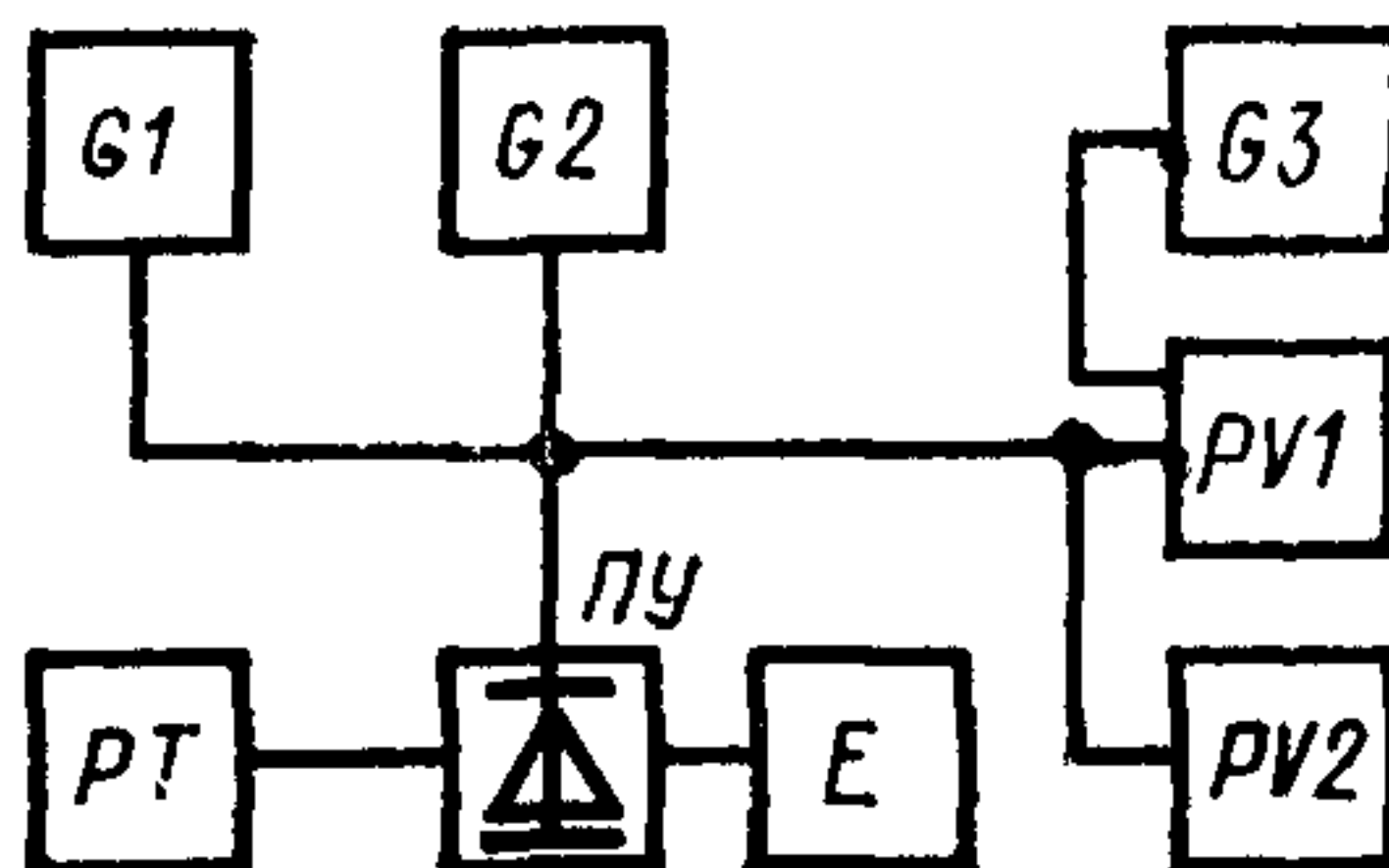
4.1.4. Значения постоянного обратного тока и частоты генератора высокочастотного тока, при которых проводят измерения, должны соответствовать установленным в стандартах или ТУ на диоды конкретных типов.



Черт. 7

## 4.2. Аппаратура

4.2.1. Измерения следует проводить на установке, структурная схема которой приведена на черт. 8.



*G<sub>1</sub>*—источник постоянного тока; *G<sub>2</sub>*—генератор тока высокой частоты; *G<sub>3</sub>*—источник опорного напряжения; *PV<sub>1</sub>*—измеритель амплитуды обратного напряжения; *PV<sub>2</sub>*—измеритель постоянного обратного напряжения; *PT*—измеритель температуры корпуса *ПУ*; *E*—нагреватель; *ПУ*—подключающее устройство с диодом.

Черт. 8

4.2.2. Источник постоянного тока должен обеспечивать: ступенчатое уменьшение тока на значение  $\Delta I = I_0 - I_1$ ; погрешность — в пределах  $\pm 1\%$ ;

погрешность задания тока  $I_0$  в пределах  $\pm 5\%$ ;  
внутреннее сопротивление не менее 10 кОм;  
нестабильность тока за время измерения диода в пределах  $\pm 0,2\%$ .

4.2.3. Генератор тока высокой частоты должен обеспечивать:  
установку и поддержание высокочастотного тока с амплитудой, равной  $\Delta I = I_0 - I_1$ ;  
суммарную погрешность — в пределах  $\pm 4\%$ ;  
период колебаний — не более  $0,05 \tau_t$ ;  
внутреннее сопротивление — не менее 1 кОм.

4.2.4. Источник опорного напряжения должен обеспечивать:  
установку и поддержание напряжения в пределах, необходимых для компенсации обратного напряжения диода;  
суммарную нестабильность напряжения — в пределах  $\pm 0,02\%$ .

4.2.5. Погрешность измерения амплитудного значения обратного напряжения относительно опорного напряжения измерителем напряжения  $PV1$  не должна выходить за пределы  $\pm 2\%$ .

4.2.6. Погрешность измерения обратного напряжения диода измерителем постоянного обратного напряжения  $PV2$  не должна выходить за пределы  $\pm 2\%$ .

4.2.7. Погрешность измерения приращения температуры измерителем температуры корпуса  $ПУ$  не должна выходить за пределы  $\pm 5\%$ .

4.2.8. Нагреватель должен обеспечивать нагрев корпуса диода относительно первоначальной температуры не менее чем на  $10^{\circ}\text{C}$ .

4.2.9. Подключающее устройство должно обеспечивать тепловое сопротивление между корпусом диода и  $ПУ$  для диодов в корпусе или между теплоотводящей поверхностью диода и  $ПУ$  для бескорпусных диодов не более 10 % значения измеряемого теплового сопротивления.

### 4.3. Подготовка и проведение измерений

4.3.1. Устанавливают диод в подключающее устройство.  
4.3.2. С помощью источника постоянного тока  $G1$  задают ток  $I_0$ . Калибруют измеритель температуры  $РТ$  при установленной начальной температуре корпуса  $ПУ$ .

4.3.3. С помощью источника опорного напряжения  $G3$  устанавливают удобное для отсчета показание измерителя  $PV1$ .

4.3.4. Уменьшают значение тока  $I_0$  на значение  $\Delta I$  с помощью источника постоянного тока  $G1$  и включают генератор тока высокой частоты  $G2$  с амплитудой  $\Delta I$ .

4.3.5. Включают нагреватель и измеряют температуру корпуса  $ПУ$  до совпадения показаний измерителя  $PV1$  с показаниями этого прибора, установленными в п. 4.3.3.

4.3.6. Измеряют обратное напряжение диода с помощью измерителя *PV2*.

4.3.7. Измеряют приращение температуры корпуса ПУ с помощью измерителя температуры РТ.

4.4. Обработка результатов измерений

4.4.1. Тепловое сопротивление  $R_{\Theta \text{ пер-кор}}$ ,  $^{\circ}\text{C/Bt}$ , определяют по формуле

$$R_{\Theta \text{ пер-кор}} = \frac{\Delta T}{\Delta I U_0} - R_{\Theta \text{ кор-пу}}, \quad (5)$$

где  $\Delta T$  — приращение температуры корпуса ПУ, измеренное измерителем температуры РТ,  $^{\circ}\text{C}$ ;

$\Delta I$  — изменение постоянного тока через диод, А;

$U_0$  — постоянное обратное напряжение диода, измеренное измерителем *PV2* при токе  $I_0$ , В;

$R_{\Theta \text{ кор-пу}}$  — тепловое сопротивление между корпусом диода и подключающим устройством, указанное в технической документации на измерительную установку,  $^{\circ}\text{C/B}$ .

4.5. Показатели точности измерений

4.5.1. Погрешность измерения теплового сопротивления не должна выходить за пределы  $\pm 15\%$  с доверительной вероятностью 0,997 с учетом значения  $R_{\Theta \text{ кор-пу}}$ , указанного в п. 4.4.1, и должна быть в пределах  $\pm 25\%$  с доверительной вероятностью 0,997, если значение  $R_{\Theta \text{ кор-пу}}$  не учитывается.

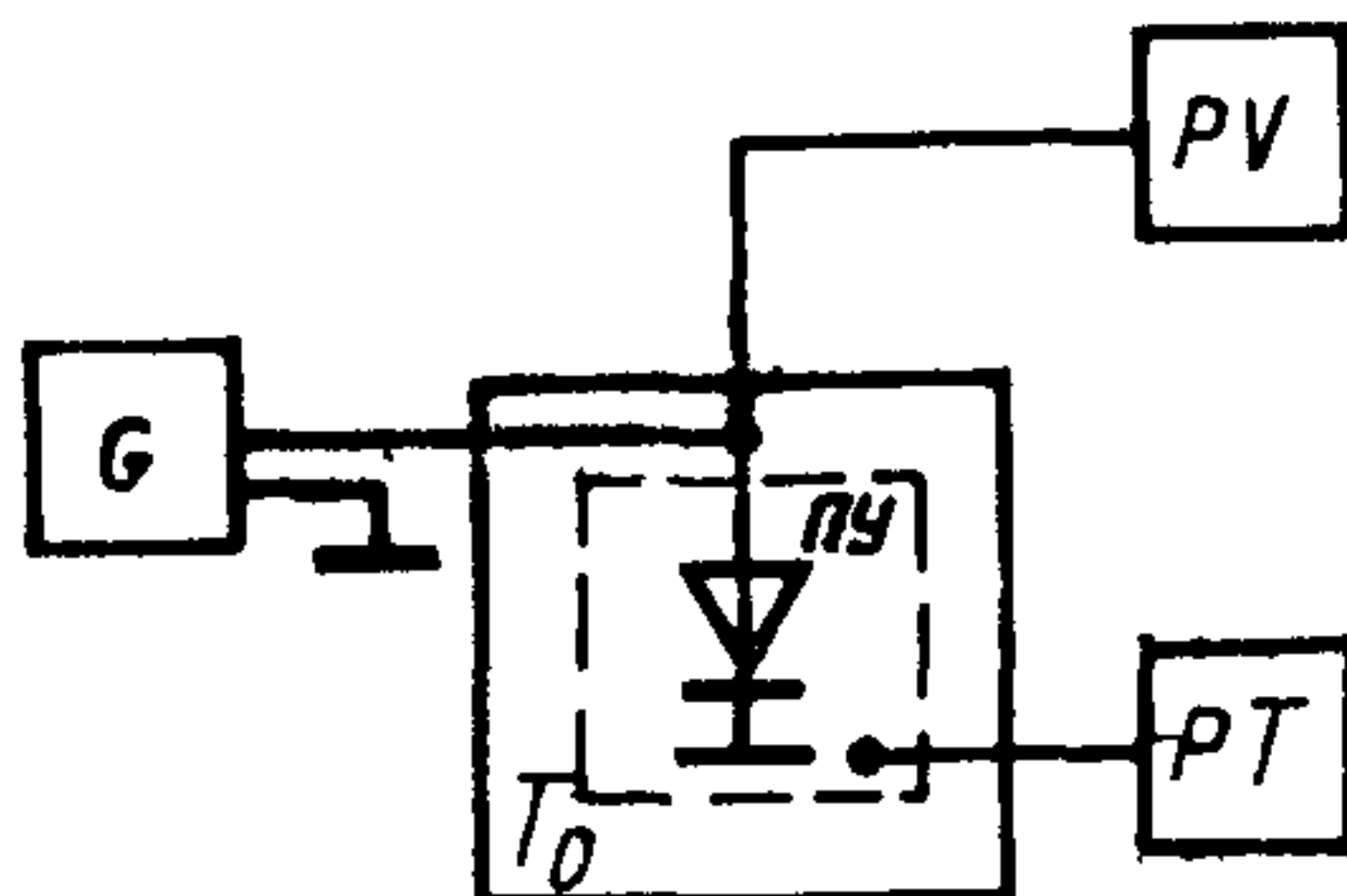
4.5.2. Расчет погрешности измерения  $R_{\Theta \text{ пер-кор}}$  приведен в справочном приложении 3.

**ПРИЛОЖЕНИЕ 1**  
**Обязательное**

**МЕТОД ИЗМЕРЕНИЯ ТЕМПЕРАТУРНОГО КОЭФФИЦИЕНТА  
ПРЯМОГО НАПРЯЖЕНИЯ ДИОДА (ТКН)**

1. Определение ТКН заключается в измерении прямого напряжения диода при протекании неразогревающего перехода прямого тока для двух значений температуры корпуса.

2. Измерения следует проводить на установке, структурная схема которой приведена на чертеже.



$G$ —источник постоянного тока;  
 $T_0$ —термостатируемый объем;  
 $ПУ$ —подключающее устройство;  
 $PV$ —измеритель прямого напряжения;  
 $PT$ —измеритель температуры

2.1. Источник постоянного тока должен обеспечивать подачу на диод требуемого тока с общей стабильностью  $\pm 2\%$  и иметь внутреннее сопротивление не менее  $10\text{ к}\Omega$ .

2.2. Термостатируемый объем должен обеспечивать задание и поддержание двух, отличающихся не менее чем на  $20^\circ\text{C}$ , температур измерения диодов; погрешность — в пределах  $\pm 2\%$ .

2.3. Погрешность измерения в заданных пределах напряжения диода измерителем прямого напряжения  $PV$  не должна выходить за пределы  $\pm 0,5\%$ .

2.4. Погрешность измерения температуры измерителем температуры  $PT$  не должна выходить за пределы  $\pm 2\%$ .

2.5. Подключающее устройство должно иметь переходное сопротивление не более  $0,01\text{ Ом}$  в диапазоне рабочих температур. Рекомендуется применять многопозиционные подключающие устройства.

**3. Порядок проведения измерений**

3.1. Диод, установленный в подключающее устройство, выдерживают при температуре  $T_1$  в течение времени, достаточного для полного прогрева диода. Время выдержки зависит от типа термостатируемого объема и корпуса диода и устанавливается в технической документации на измерительную установку.

3.2. Задают ток через диод и измеряют прямое напряжение  $U_{\text{пр}1}$ .

3.3. Устанавливают температуру  $T_2$ , большую, чем  $T_1$ , и после выдержки измеряют прямое напряжение  $U_{\text{пр}2}$ .

4. Значение ТКН,  $\text{мВ}/^\circ\text{C}$ , рассчитывают по формуле

$$TKH = \frac{U_{\text{пр}1} - U_{\text{пр}2}}{T_2 - T_1},$$

**ПРИЛОЖЕНИЕ 2**  
*Справочное*

**МЕТОД ИЗМЕРЕНИЯ КОЭФФИЦИЕНТА ПОТЕРЬ  
СВЧ-МОЩНОСТИ В ЭЛЕМЕНТАХ КОНСТРУКЦИИ ДИОДНОЙ КАМЕРЫ**

1. Определение коэффициента потерь СВЧ-мощности в элементах конструкции диодной камеры основано на измерении добротности камеры с эквивалентом короткого замыкания. Эквивалентом короткого замыкания является устройство, максимально близкое по своим размерам и конструкции к проверяемому диоду, в котором в месте установки полупроводниковой структуры осуществлено короткое замыкание.

2. Измерение добротности камеры следует проводить с помощью панорамного измерителя КСВН, при этом диодную камеру включают в качестве конечной нагрузки.

**3. Порядок проведения измерений**

3.1. Устанавливают в камеру эквивалент короткого замыкания и на частоте измерений теплового сопротивления  $f_0$  проводят согласование камеры до КСВН  $< 1,4$ .

3.2. Измеряют полосу пропускания камеры  $\Delta f_{k.z}$  по уровню КСВН-2 и рассчитывают добротность камеры с эквивалентом короткого замыкания  $Q_{k.z}$  по формуле

$$Q_{k.z} = \frac{f_0}{\Delta f_{k.z}} .$$

3.3. Устанавливают в камеру проверяемый диод и на частоте  $f_0$  проводят согласование камеры до КСВН  $< 1,4$  при заданном прямом токе.

3.4. Измеряют полосу пропускания камеры  $\Delta f_d$  по уровню КСВН=2 и рассчитывают добротность камеры с проверяемым диодом  $Q_d$  по формуле

$$Q_d = \frac{f_0}{\Delta f_d} .$$

3.5. Определяют коэффициент потерь СВЧ-мощности в элементах конструкции камеры  $K_P$  по формуле

$$K_P = \frac{Q_d}{Q_{k.z}} .$$

ПРИЛОЖЕНИЕ 3  
Справочное

**1. Расчет погрешности измерения теплового сопротивления, определяемого методами, приведенными в разд. 1 и 2 настоящего стандарта**

1.1. Погрешность измерения теплового сопротивления  $\delta R_\Theta$  измеренного методами, приведенными в разд. 1 и 2 настоящего стандарта, подчиняется нормальному закону распределения и рассчитывается по формуле

$$\delta R_\Theta = \sqrt{(\delta \Delta U_{\text{пр}})^2 + (\delta TKH)^2 + (\delta P)^2}, \quad (1)$$

где  $\delta \Delta U_{\text{пр}}$  — предельное значение относительной погрешности измерения изменения прямого напряжения диода. Погрешность подчиняетсяциальному закону распределения;

$\delta TKH$  — предельное значение относительной погрешности измерения температурного коэффициента прямого напряжения диода. Погрешность подчиняетсяциальному закону распределения;

$\delta P$  — предельное значение относительной погрешности измерения мощности, рассеиваемой в диоде. Погрешность подчиняетсяциальному закону распределения.

1.2. Погрешность  $\delta \Delta U_{\text{пр}}$ , %, рассчитывают по формуле

$$\delta \Delta U_{\text{пр}} = \pm \delta \Delta U_1 - \delta \Delta U_2 \pm \sqrt{(\delta \Delta U_3)^2 + (\delta \Delta U_4)^2 + (\delta \Delta U_5)^2}, \quad (2)$$

где  $\delta \Delta U_1$  — предельное значение относительной систематической погрешности измерения  $\Delta U_{\text{пр}}$ , вызываемой нагревом корпуса диода в процессе действия импульса;

$\delta \Delta U_2$  — предельное значение относительной систематической погрешности измерения  $\Delta U_{\text{пр}}$ , вызываемой рассеиванием накопленного заряда;

$\delta \Delta U_3$  — предельное значение относительной погрешности измерения  $\Delta U_{\text{пр}}$ , вызываемой нестабильностью и пульсациями источника тока. Погрешность подчиняетсяциальному закону распределения;

$\delta \Delta U_4$  — предельное значение относительной погрешности измерения  $\Delta U_{\text{пр}}$ , вызываемой выделением огибающей СВЧ-импульса. Погрешность подчиняетсяциальному закону распределения;

$\delta \Delta U_5$  — предельное значение относительной погрешности измерителя  $\Delta U_{\text{пр}}$ . Погрешность подчиняетсяциальному закону распределения.

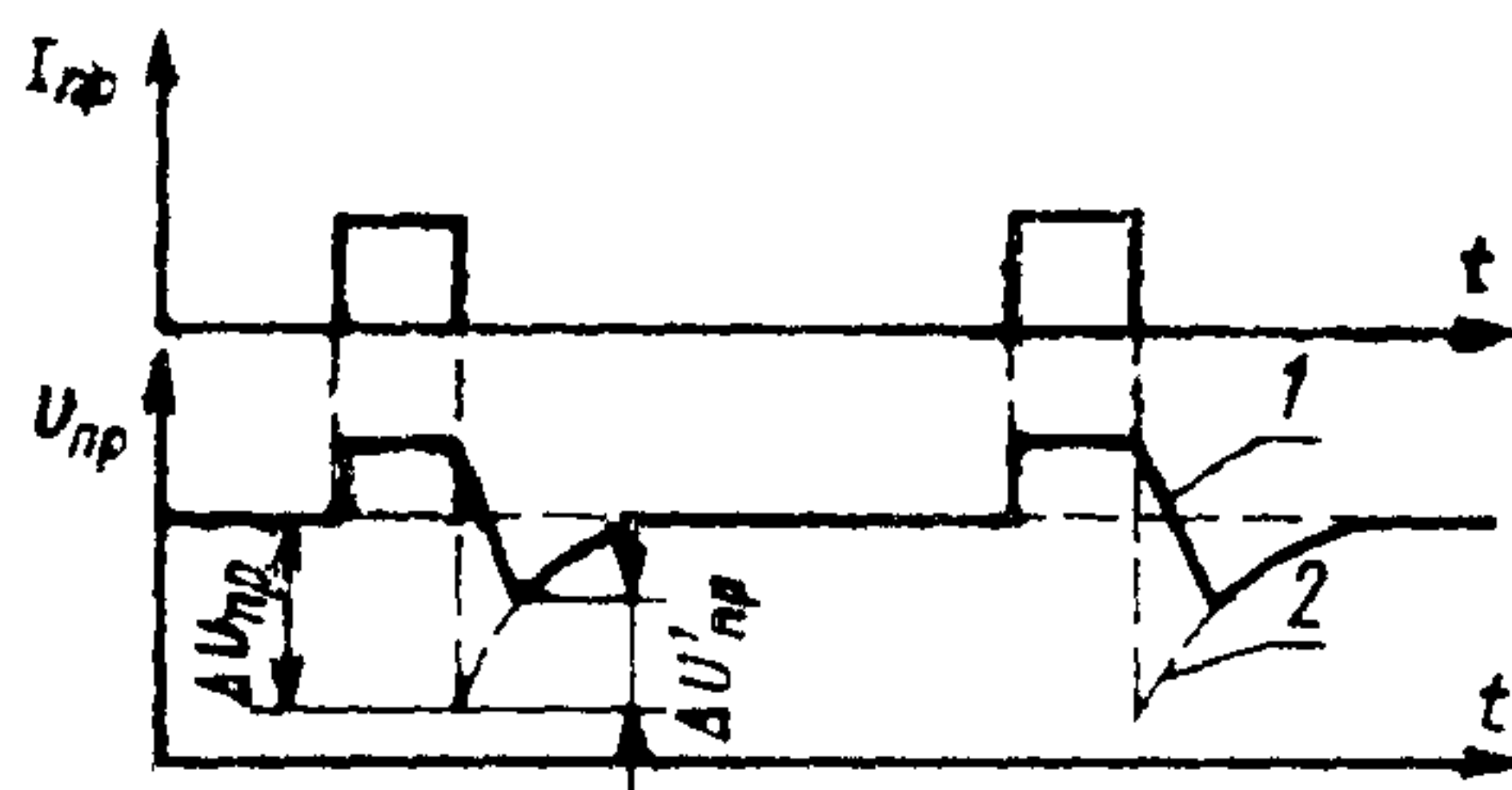
1.3. Погрешность  $\delta \Delta U_1$  зависит от требований, предъявляемых к измерительной камере и подключающему устройству, и не должна превышать 5 %.

1.4. Погрешность  $\delta \Delta U_2$  определяют по осциллограмме зависимости прямого напряжения диода  $U_{\text{пр}}$  от времени при протекании через диод импульсного прямого тока, изображенной на черт. 1.

Погрешность  $\delta \Delta U_2$ , %, рассчитывают после определения значений  $\Delta U_{\text{пр}}$  и  $\Delta U'_{\text{пр}}$  из осциллограммы по формуле

$$\delta \Delta U_2 = \frac{\Delta U'_{\text{пр}}}{\Delta U_{\text{пр}}} \cdot 100. \quad (3)$$

Если погрешность  $\delta \Delta U_2$  превышает 10 %, то должны быть приняты меры по ее снижению или учету.



1—реальная зависимость; 2—зависимость без учета явления рассасывания накопленного заряда.

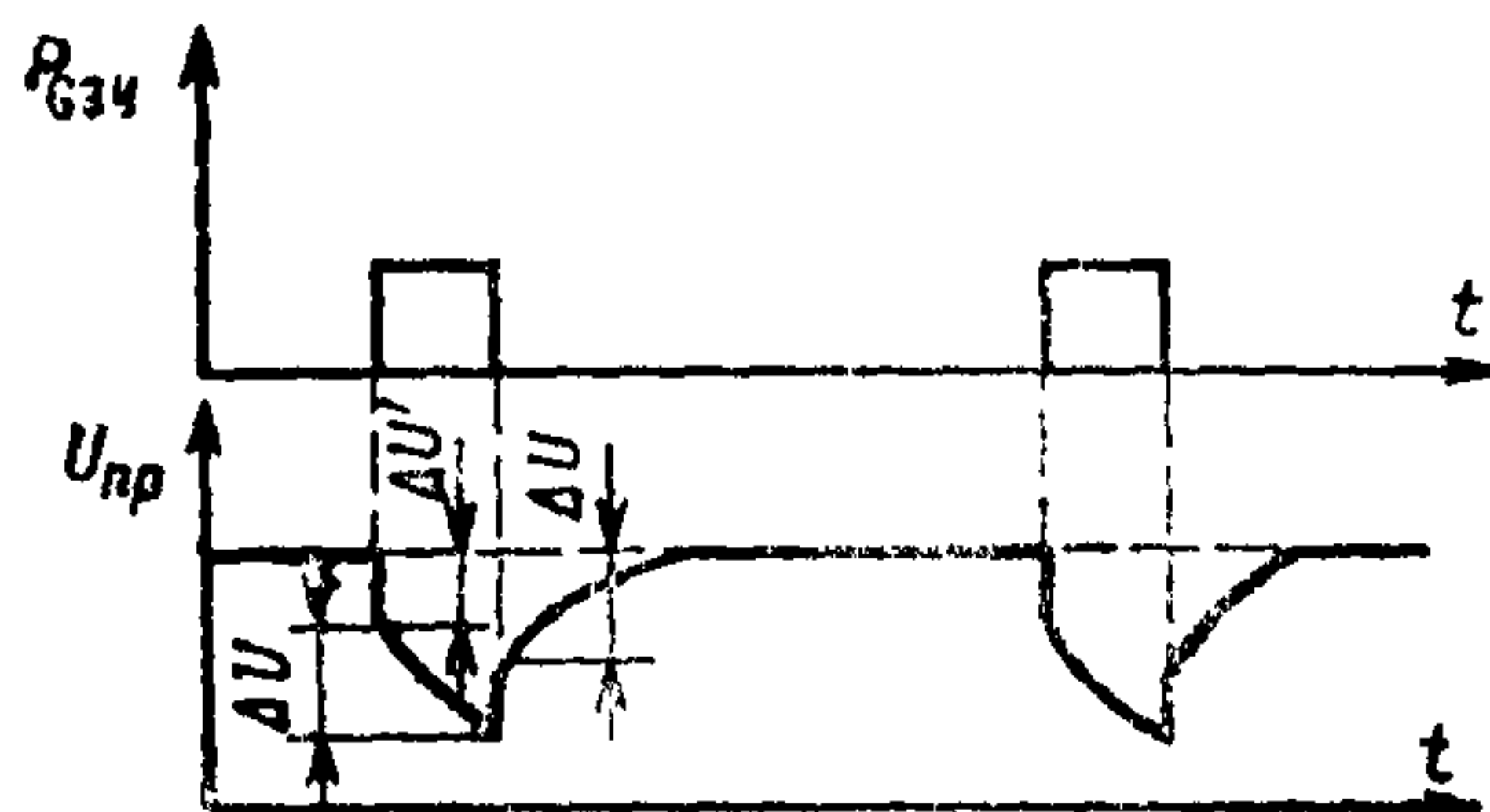
Черт. 1

1.5. Погрешность  $\delta\Delta U_3$ , %, рассчитывают по формуле

$$\delta\Delta U_3 = \frac{\Delta I_{изм} r_{п}}{U_{пр}} , \quad (4)$$

где  $\Delta I_{изм}$  — максимальная абсолютная нестабильность измерительного тока, А;  
 $r_{п}$  — последовательное сопротивление потерь проверяемого диода, Ом;  
 $U_{пр}$  — прямое напряжение диода при протекании через него измерительно-го тока, В.

1.6. Погрешность  $\delta\Delta U_4$  определяют по осциллограмме зависимости прямого напряжения диода  $U_{пр}$  от времени при рассеянии в диоде импульсной СВЧ-мощности, изображенной на черт. 2.



$\Delta U$  — изменение прямого напряжения за счет нагрева перехода СВЧ-мощностью;  
 $\Delta U'$  — изменение прямого напряжения диода за счет выделения огибающей импульса СВЧ-мощности

Черт. 2

Погрешность  $\delta\Delta U_4$ , %, рассчитывают по формуле

$$\delta\Delta U_4 = \frac{\Delta U'}{\Delta U + \Delta U'} \cdot 100. \quad (5)$$

Если погрешность  $\delta\Delta U_4$  выходит за пределы  $\pm 5\%$ , то должны быть приняты меры по ее снижению или учету.

1.7. Погрешность  $\delta\Delta U_5$  зависит от требований, предъявляемых к измерителю, и не должна выходить за пределы  $\pm 10\%$ .

1.8. Значение погрешности  $\delta\Delta U_{\text{пр}}$ , %, рассчитанное по формуле (2), составляет

$$\delta\Delta U_{\text{пр}} = +5 - 10 \pm \sqrt{5^2 + 2^2 + 10^2} = -5 \pm 11 = \pm 16.$$

1.9. Погрешность ТКН, %, рассчитывают по формуле

$$\delta\text{TKH} = \sqrt{2(\delta U_{\text{пр}})^2 + (\delta\Delta T)^2}, \quad (6)$$

где  $\delta U_{\text{пр}}$  — предельное значение относительной погрешности измерения прямого напряжения диода. Погрешность подчиняется нормальному закону распределения;

$\delta\Delta T$  — предельное значение относительной погрешности измерения разности температур. Погрешность подчиняетсяциальному закону распределения.

1.10 Погрешность  $\delta U_{\text{пр}}$ , %, рассчитывают по формуле

$$\delta U_{\text{пр}} = \sqrt{(\delta U_1)^2 + (\delta U_2)^2}, \quad (7)$$

где  $\delta U_1$  — предельное значение относительной погрешности измерения прямого напряжения, вызванной нестабильностью измерительного тока, определяемой по п. 1.5 настоящего приложения. Погрешность подчиняется нормальному закону распределения;

$\delta U_2$  — предельное значение относительной погрешности средств измерения напряжения. Погрешность подчиняетсяциальному закону распределения и не должна выходить за пределы  $\pm 0,5\%$  при использовании цифрового вольтметра.

1.11. Погрешность  $\delta\Delta T$  рассчитывают в зависимости от применяемого оборудования, обеспечивающего измерение  $U_{\text{пр}}$  при двух температурах, ее значение не должно выходить за пределы  $\pm 3\%$  при разности температур более  $20^{\circ}\text{C}$ .

1.12. Значение погрешности ТКН, %, рассчитанное по формуле (6) составляет

$$\delta\text{TKH} = \pm \sqrt{2 \cdot (2,5)^2 + 3^2} = \pm 4,6.$$

1.13. При усреднении значения ТКН для данного типа диодов максимальное отклонение от среднего значения не должно выходить за пределы  $\pm 10\%$ . При этом значение погрешности  $\delta\text{TKH}$  не должно выходить за пределы  $\pm 12\%$ .

1.14. Погрешность  $\delta P$ , %, при измерении методом, приведенным в разд. 1 настоящего стандарта рассчитывают по формуле

$$\delta P = -\delta P_{\text{огр}} - \delta P_k \pm \delta P_r, \quad (8)$$

где  $\delta P_{\text{огр}}$  — предельное значение систематической относительной погрешности определения мощности, вызываемой конечным значением согласования измерительной камеры с диодом с трактом СВЧ;

$\delta P_k$  — предельное значение систематической относительной погрешности определения мощности, вызываемой потерями в измерительной диодной камере;

$\delta P_r$  — предельное значение относительной погрешности установки и измерения мощности СВЧ-генератора. Погрешность подчиняется нормальному закону распределения.

Значение погрешности  $\delta P$  не должно выходить за пределы  $\pm 10\%$ .

1.15. Погрешность  $\delta P$ , %, при измерении методом, приведенным в разд. 2 настоящего стандарта, рассчитывают в каждом конкретном случае с учетом применяемого оборудования, ее значение не должно выходить за пределы  $\pm 10\%$ .

1.16. Погрешность измерения  $\delta R_{\Theta}$ , %, рассчитанная по формуле (1), при подстановке максимальных значений составляющих погрешности составляет

$$\delta R_{\Theta} = \sqrt{16,5^2 + 12,5^2 + 10^2} = \pm 23.$$

**2. Расчет погрешности измерения теплового сопротивления, измеренного методом, приведенным в разд. 3 настоящего стандарта**

2.1. Погрешность измерения теплового сопротивления  $\delta R_{\Theta}$  пер-кор подчиняется нормальному закону распределения и рассчитывается по формуле

$$\delta R_{\Theta \text{пер-кор}} = \sqrt{(\delta U_{\text{пор}})^2 + (\delta I_{\text{пор}})^2 + (\delta I_{\text{пор,и}})^2 + \frac{T_1 \delta T_1 + T_2 \delta T_2}{(T_2 - T_1)^2}}, \quad (9)$$

где  $\delta U_{\text{пор}}$  — предельное значение относительной погрешности измерения постоянного порогового напряжения. Погрешность подчиняетсяциальному закону распределения;

$\delta I_{\text{пор}}$  — предельное значение относительной погрешности измерения постоянного порогового тока. Погрешность подчиняетсяциальному закону распределения;

$\delta I_{\text{пор,и}}$  — предельное значение относительной погрешности измерения импульсного порогового тока. Погрешность подчиняетсяциальному закону распределения;

$T_1$  — значение температуры корпуса при протекании постоянного порогового тока;

$T_2$  — значение температуры корпуса при внешнем подогреве;

$\delta T_1$  — предельное значение относительной погрешности измерения температуры корпуса при протекании постоянного порогового тока. Погрешность подчиняетсяциальному закону распределения;

$\delta T_2$  — предельное значение относительной погрешности измерения температуры корпуса при внешнем подогреве. Погрешность подчиняетсяциальному закону распределения.

2.2. Погрешность  $\delta U_{\text{пор}}$  зависит от требований, предъявляемых к измерителю постоянного напряжения и не должна выходить за пределы  $\pm 2\%$ .

2.3. Погрешность  $\delta I_{\text{пор}}$ , %, рассчитывают по формуле

$$\delta I_{\text{пор}} = \sqrt{(\delta U)^2 + (\delta R)^2}, \quad (10)$$

где  $\delta U$  — предельное значение относительной погрешности измерителя постоянного напряжения, не должно выходить за пределы  $\pm 2\%$ . Погрешность подчиняетсяциальному закону распределения;

$\delta R$  — предельное относительное отклонение от номинального значения измерительного резистора, не должно выходить за пределы  $\pm 1\%$ .

Погрешность подчиняетсяциальному закону распределения.

Значение погрешности  $\delta I_{\text{пор}}$ , рассчитанное по формуле (10) составляет  $\pm 2,3\%$ .

2.4. Погрешность  $\delta I_{\text{пор,и}}$  рассчитывают по формуле

$$\delta I_{\text{пор,и}} = \delta I_1 \pm \sqrt{(\delta I_2)^2 + (\delta I_3)^2}, \quad (11)$$

где  $\delta I_1$  — предельное значение относительной систематической погрешности измерения импульсного порогового тока, вызываемой индуктивным выбросом на вершине измеряемого импульса. Значение погрешности  $\delta I_1$  не должно превышать  $5\%$ .

Допускается применение цепей коррекции;

$\delta I_2$  — предельное значение относительной погрешности измерителя импульсного напряжения, не должно выходить за пределы  $\pm 10\%$ . Погрешность подчиняетсяциальному закону распределения;

$\delta I_3$  — предельное относительное отклонение от номинального значения сопротивления измерительного резистора, не должно выходить за пределы  $\pm 1\%$ . Погрешность подчиняетсяциальному закону распределения.

2.5. Значение погрешности  $\delta I_{\text{пор.и}}$ , %, рассчитанное по формуле (11), составляет

$$\delta I_{\text{пор.и}} = 5 \pm \sqrt{10^2 + 1^2} = 5 \pm 10 = +15 -5$$

2.6. Погрешность  $\delta T_1$ , %, рассчитывают по формуле

$$\delta T_1 = -\delta T_k \pm \delta T_{\text{изм}}, \quad (12)$$

где  $\delta T_k$  — предельное значение относительной систематической погрешности измерения температуры за счет разности между температурой корпуса диода и температурой ПУ, не должно превышать 3 %;

$\delta T_{\text{изм}}$  — предельное значение относительной погрешности измерителя температуры при минимальной температуре корпуса 25 °C, не должно выходить за пределы  $\pm 6 \%$ . Погрешность подчиняется нормальному закону распределения.

Значение погрешности  $\delta T_1$ , %, рассчитанное по формуле (12), составляет  $\pm 11 \%$ .

2.7. Погрешность  $\delta T_2$ , %, рассчитывают по формуле

$$\delta T_2 = -\delta T_k \pm \sqrt{(\delta T_{\text{вр}})^2 + (\delta T_{\text{изм}})^2}, \quad (13)$$

где  $\delta T_k$  — по п. 2.6;

$\delta T_{\text{вр}}$  — предельное значение относительной погрешности измерения температуры, возникающей за счет изменения температуры корпуса за время реакции оператора в момент равенства импульсного и постоянного пороговых токов, которое рассчитывают в зависимости от применяемого оборудования при скорости нагрева 5 °C и времени реакции оператора 0,5 с, значение погрешности  $\delta T_{\text{вр}}$  не должно превышать 5 %. Погрешность подчиняетсяциальному закону распределения.

$\delta T_{\text{изм}}$  — предельное значение относительной погрешности измерителя температуры, которое при минимальной температуре корпуса 75 °C не должно превышать 2 %. Погрешность подчиняетсяциальному закону распределения.

2.8. Значение погрешности  $\delta T_2$ , %, рассчитанное по формуле (13), составляет

$$\delta T_2 = -5 \pm \sqrt{5^2 + 2^2} = (-5 \pm 5,4) = +0,4 -10,4$$

2.9. Погрешность измерения  $\delta R_{\Theta \text{ пер-кор}}$ , %, рассчитанная по формуле (9), при подстановке максимальных значений составляющих погрешности составляет

$$\delta R_{\Theta \text{ пер-кор}} = \sqrt{2^2 + 2,3^2 + 15^2 + \frac{25,6 + 75 \cdot 10,5}{50}} = 24.$$

### 3. Расчет погрешности измерений теплового сопротивления измеренного методом, приведенным в разд. 4 настоящего стандарта

3.1. Погрешность измерения теплового сопротивления  $\delta R_{\Theta \text{ пер-кор}}$  подчиняется нормальному закону распределения и рассчитывается по формуле

$$\delta R_{\Theta \text{ пер-кор}} = \sqrt{(\delta \Delta T)^2 + (\delta \Delta I)^2 + (\delta I_0)^2 + (\delta U_0)^2 + (\delta U_{\text{оп}})^2 + (\delta R_{\Theta \text{ кор-ПУ}})^2}, \quad (14)$$

где  $\delta \Delta T$  — предельное значение относительной погрешности измерения  $\Delta T$ . Погрешность подчиняетсяциальному закону распределения;

$\delta \Delta I$  — предельное значение относительной погрешности измерения  $R_{\Theta \text{ пер-кор}}$ , вызванное погрешностью задания и нестабильностью  $\Delta I$ . Погрешность подчиняетсяциальному закону распределения.

- $\delta I_0$  — предельное значение относительной погрешности измерения  $R_\Theta$  пер-кор, вызванное нестабильностью постоянного тока  $I_0$ . Погрешность подчиняется нормальному закону распределения;
- $\delta U_0$  — предельное значение относительной погрешности измерения  $V_0$ , которое не должно выходить за пределы  $\pm 2\%$ . Погрешность подчиняетсяциальному закону распределения;
- $\delta U_{\text{оп}}$  — предельное значение относительной погрешности измерения  $R_\Theta$  пер-кор, вызванное нестабильностью источника опорного напряжения. Погрешность подчиняетсяциальному закону распределения;
- $\delta R_{\Theta \text{ кор.-пу}}$  — предельное значение относительной погрешности измерения  $R_\Theta$  пер-кор, вызванное погрешностью измерения  $R_\Theta$  кор-пу, которое не должно выходить за пределы  $\pm 2\%$ . Погрешность подчиняетсяциальному закону распределения.

3.2. Погрешность  $\delta \Delta T$ , %, рассчитывают по формуле

$$\delta \Delta T = \sqrt{(\delta \Delta T_1)^2 + (\delta \Delta T_2)^2}, \quad (15)$$

где  $\delta \Delta T_1$  — предельное значение относительной погрешности измерителя температуры, которое не должно выходить за пределы  $\pm 7\%$ . Погрешность подчиняетсяциальному закону распределения;

$\delta \Delta T_2$  — предельное значение относительной погрешности измерения приращения температуры, вызываемой точностью совмещения спектром показаний измерителя  $PVI$ , которое не должно выходить за пределы  $\pm 5\%$ . Погрешность подчиняетсяциальному закону распределения.

Значение погрешности  $\delta \Delta T$ , %, рассчитанное по формуле (15), составляет

$$\delta \Delta T = \pm \sqrt{7^2 + 5^2} = \pm 8,5.$$

3.3. Погрешность  $\delta \Delta I$ , %, рассчитывают по формуле

$$\delta \Delta I = \sqrt{(\delta \Delta I_1)^2 + (\delta \Delta I_2)^2}, \quad (16)$$

где  $\delta \Delta I_1$  — предельное значение относительной погрешности измерения  $\Delta I$  постоянного тока, которое не должно выходить за пределы  $\pm 3\%$ . Погрешность подчиняетсяциальному закону распределения;

$\delta \Delta I_2$  — предельное значение относительной погрешности измерения амплитуды  $\Delta I$  тока высокой частоты, которое не должно выходить за пределы  $\pm 4\%$ . Погрешность подчиняетсяциальному закону распределения.

Значение погрешности  $\delta \Delta I$ , %, рассчитанное по формуле (16), составляет

$$\delta \Delta I = \pm \sqrt{3^2 + 4^2} = \pm 5.$$

3.4. Погрешность  $\delta I_0$ , %, рассчитывают по формуле

$$\delta I_0 = \pm \frac{2 \delta I_n I_{0 \text{ max}}}{\Delta I}, \quad (17)$$

где  $\delta I_n$  — предельное значение относительной нестабильности источника постоянного тока, которое не должно выходить за пределы  $\pm 0,2\%$ ;

$I_{0 \text{ max}}$  — максимальное значение постоянного тока, при котором проводят измерения;

$\Delta I$  — значение изменения постоянного тока при измерениях. Значение погрешности  $\delta I_0$ , %, при  $\Delta I = 3 \text{ mA}$ ;

$I_{0 \text{ max}} = 50 \text{ mA}$ , рассчитанное по формуле (17), составляет

$$\delta I_0 = \pm \frac{2 \cdot 0,2 \cdot 50}{3} = \pm 6,6.$$

3.5. Погрешность  $\delta U_{\text{оп}}$  рассчитывают по формуле

$$\delta U_{\text{оп}} = \frac{\delta U_n U_{\text{оп.макс}}}{\Delta U}, \quad (18)$$

где  $\delta U_n$  — предельное значение относительной нестабильности опорного напряжения, которое не должно выходить за пределы  $\pm 0,02\%$ ;

$\Delta U$  — изменение обратного напряжения диода при уменьшении тока  $\Delta I$ ;

$U_{\text{оп.макс}}$  — максимальное значение опорного напряжения при измерениях.

Значение погрешности  $\delta U_{\text{оп}}$ , %, при  $\Delta U = 0,3$  В,  $U_{\text{оп.макс}} = 80$  В, рассчитанное по формуле (18), составляет

$$\delta U_{\text{оп}} = \frac{0,02 \cdot 80}{0,3} = \pm 5,3.$$

3.6. Погрешность измерения  $R_{\Theta \text{ пер-кор}}$ , %, рассчитанная по формуле (14), при подстановке максимальных составляющих погрешности составляет

$$\delta R_{\Theta \text{ пер.-кор}} = \pm \sqrt{8,5^2 + 5^2 + 6,6^2 + 2^2 + 5,3^2 + 2^2} = \pm 13.$$

3.7. В случае, если при расчете погрешности измерения  $R_{\Theta \text{ пер-кор}}$  по формуле (9) значение  $R_{\Theta \text{ кор-ПУ}}$  не учитывают, значение погрешности измерения  $R_{\Theta \text{ пер-кор}}$  увеличивают на систематическую погрешность, не выходящую за пределы  $\pm 10\%$ , при этом погрешность измерения  $R_{\Theta \text{ пер-кор}}$  не должна выходить за пределы  $\pm 3\%$ .

Редактор *Т. С. Шеко*  
Технический редактор *Н. В. Келеникова*  
Корректор *Л. А. Синица*

Сдано в наб. 03.10.84 Подп. в печ. 06.12.84 1,5 усл. п. л. 1,5 усл. кр.-отт. 1,42 уч.-изд. л.  
Тир. 10 000 Цена 10 коп.

---

Ордена «Знак Почета» Издательство стандартов, 123840, Москва, ГСП,  
Новопресненский пер. 3,  
Калужская типография стандартов, ул. Московская, 256. Зак. 2818